

日本電信電話公社 茨城電気通信研究所 正員 ○ 久保 和幸  
 東海電気通信局 正員 塩見 博司  
 東京電気通信局 原津 孝雄

## 1. はじめに

電話、上・下水道、ガス、電力等の公益事業体による管路埋設工事では、掘削工が容易で確実な上経済的にも優れるところから開削工事が主体となつてゐる。しかし、建設公害に対する行政的指導及び社会的觀視の強化から従来は特殊な区域に限定されていた非開削工法の適用が徐々に拡大されつつある。このため、長距離を正確かつ高速に施工できる小口径トンネル技術が各方面で要望されてゐる。本報告では、これら非開削工法のうち無排土圧入工法の周辺地盤に与える影響について実験結果を報告する。

## 2. 無排土圧入工法の概要

先端を開くした管体埋設機(図-1参照、以下穿孔機と呼ぶ)を地中に水平圧入させ、内径の約1/3の小口径トンネルを鏽造する方法を管推進工法(Φ301)と呼ぶ。本工法の特徴は、掘削・排土機器を必要とせず、穿孔機に方向制御や位置、姿勢角計測機構を容易に装備できること及び比較的高速で長距離を正確に施工できることである。

## 3. 圧入のメカニズム

穿孔機を地中に水平圧入させると、地盤は周辺に押しだけられ連続的な圧密と局部せん断破壊が生じる。このときの周辺地盤の状態は、図2に示す室内模型実験の結果から図2に示した4つの領域に分かることと推定される。また、無排土圧入工法の圧入メカニズムは、穿孔機が地盤を押し広げる際に生じる変位と応力を周辺地盤が吸収する過程と考えられる。

## 4. 周辺地盤の挙動

穿孔機の圧入に伴って発生する土の圧密→せん断→破壊の過程は、穿孔ヘッド前面に形成される圧縮領域に集中してゐる。従って圧縮領域の大きさは、そのまま本工法の地盤に対する影響範囲と言える。ここでは、地盤の変位測定結果から圧縮領域を決定し、同時に地表面への影響についても考察する。

### 4-1 土質条件

本工法を試験調査した地盤の土質条件を表1に示す。

### 4-2 地表面変位

図4に地表面変位を光学測量した結果を示す。地表面に現れた隆起及び次下は概ね土の範囲内にあり、特に舗装で拘束された条件下では微小のため問題とならなかつた。

### 4-3 地盤内変位

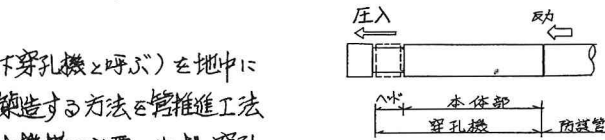


図-1 穿孔機概略図

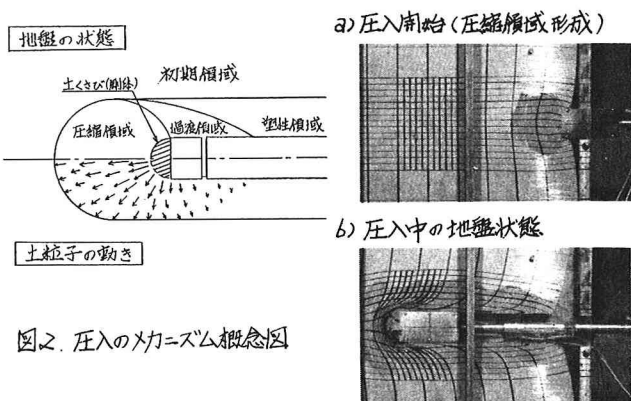


図2 圧入のメカニズム概念図



図3 周辺地盤の挙動(模型)

表1. 土質条件

項目	記号	単位	砂	間隙率	粘土
			①球 ②密 ③中位	ローマ	
粒度 分	%		10	1	0
度砂 分	%		71	80	35.5 12.5
介 介	%		7	9	63.5 28
布 粒子 分	%		12	10	1 59.5
比 重	GS		2,653 2,669	2,708 2,410	2,714
単位体積重量	$\gamma_t$ $\text{kg/m}^3$		1,270 1,789	1,700 1,308	1,669
含 水 比	W	%	16.5 15.5	25.0 95.5	55.4
固 有 比	E		1,436 0.730	0.990 2,781	1,527
粘 着 力	C $\text{kgf/cm}^2$		— 0.25	0.28 0.04	0.68
水 游 カ ル 率	中 度		28.00 26.00	21.30 3.45	
一 般 正規物理量	$C_u$ $\text{kgf/cm}^2$		— —	— 0.71	1.02
N 値			3 7-11	5-10 2-5	8-10
(参考) 土被り	m		29 26-27	24 15-27	24
施工条件			150 170	200 150	170
曲率半径	m		15	90 50	90
推進速	m				

穿孔機の圧入に伴う周辺地盤の挙動を確認するためには、穿孔ヘッド前方に形成される圧縮領域内の地盤変位量を直接測定する必要がある。そこで図5に示す地盤内変位計測装置により地盤内変位計測を実施し、影響範囲の大きさと変位量の分布を求めた。その結果を図6に示す。

## 5. 考察

水平に圧入される管体の体積増加によって生じる土の変位と応力は、地盤内の隙間に吸収され、局部的な圧密現象が発生していると推察される。このたゞ地盤内変位は 土の圧密特性に支配され隙隙比との間に一元的関係が成立するはずである。そこで変位量と隙隙比の関係を図7に示し、以下に考察する。

### 5-1 土質による挙動の相違

(1) 砂： 砂の変位量は、隙隙の減少に伴って急激に増大するが、これは砂特有のダイレクシーカ方式が加わるためにと考えられる。

(2) 粘土： 粘土は大きな隙隙比を持つが、隙隙中の水分が非圧縮性であり排水速度も小さいため、変位と応力は吸収され難く、砂に次ぐ変位量を示す。

(3) ローム： ロームは最大大きな隙隙を有しており、かつ透水性もあるので本工法にとって最適な地盤と言える。

### 5-2 影響範囲

穿孔ヘッド前面の圧縮領域直徑(影響範囲)は、近似的に次の方法で求められる。(図8より)

$$\text{圧縮領域直徑} = \text{変位量} / \ln(\text{穿孔ヘッドからの距離} / \text{隙隙比})$$

### 5-3 地表面変位との関係

地表面は応力・変位とともに解放された条件のため、隆起や沈下を防ぐには、(影響半径)以上の自由による拘束を確保できる土被りが必要である。表2に地表面変位量とのときの土被りとそのときの圧縮領域半径を示すが、土被りは圧縮領域半径の約2倍となる。つまり本工法で地表面に変位を与えない土被りは影響半径の2倍又は圧縮領域の直徑程度が必要と言える。但し、舗装等で地表面拘束された場合は、当然これよりも小さくなるはずである。

## 6. まとめ

今回の実験では、穿孔機の圧入に伴う地盤内の体積増加が、周辺地盤に吸収される際、地盤内変位とその影響範囲が土質と隙隙比に左右されることを確認した。今後は本工法の適用土質を左右するパラメータについて明らかにしてゆく予定である。

参考文献) 塩見他「水平貫入体の貫入抵抗に関する一考察」  
土木学会第38回全国大会Ⅲ-55 1981

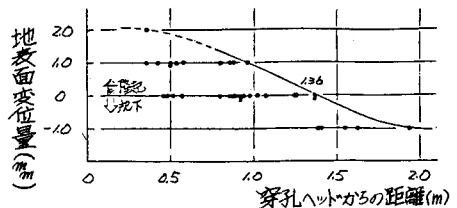


図4 地表面変位計測結果

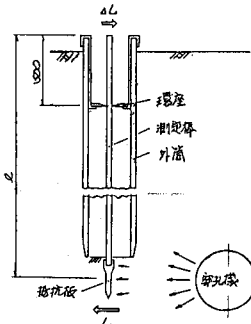


図5 地盤内変位計測装置

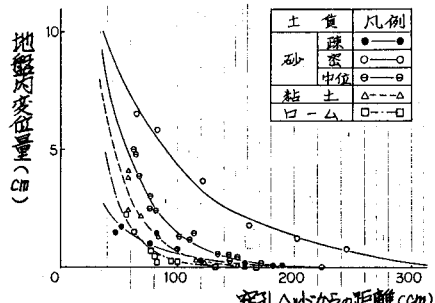


図6 地盤内変位計測結果

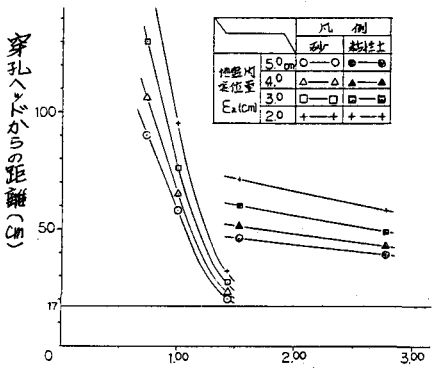


図7 地盤内変位と隙隙比

表2 変位のない土被りと圧縮領域半径

土質	1. 地表面変位のない圧縮領域の半径 (m)	2. 圧縮領域の半径 (m)	A/B
砂(中位)	2.34	1.16	2.02
粘土	2.27	1.02	2.23
ローム	1.49	0.49	1.90